

## Partie C — thème 1

### Quantification d'image



*256 niveaux*



*6 niveaux*

## Partie C — thème 1

### Quantification d'image



*162263 couleurs*



*8 couleurs*

# 1. Introduction

## 1.1. Objectifs de la quantification

- ▶ discrétiser une information **continue** de luminance ou de couleurs :

$$\begin{array}{l} [0, 1] \longrightarrow [0 .. M-1] \\ \text{ou } [0, 1]^3 \longrightarrow [0 .. M-1]^3 \end{array}$$

- ▶ ramener la **dynamique** d'une image (discrète) dans la dynamique de l'affichage
  - ▶ *visualisation de données scientifiques (ex. : spectre de fourier)*

$$[0 .. X_{max}] \longrightarrow [0 .. 255]$$

- ▶ *format raw  $\longrightarrow$  format écran (ex. : photo couleur numérique)*

$$[0 .. 2^{16} - 1]^3 \longrightarrow [0 .. 255]^3$$

- ▶ réduire le nombre de niveaux / couleurs d'une image affichable

$$[0 .. 255] \longrightarrow [0 .. M - 1], \quad \text{avec } M \text{ petit}$$

- ▶ *réduire la taille de l'image*
  - ▶ *agréger les pixels voisins visuellement proches (effets spéciaux, segmentation)*

# 1. Introduction

## 1.1. Objectifs de la quantification

- ▶ discrétiser une information **continue** de luminance ou de couleurs :

$$\begin{aligned} [0, 1] &\longrightarrow [0 .. M-1] \\ \text{ou } [0, 1]^3 &\longrightarrow [0 .. M-1]^3 \end{aligned}$$

- ▶ ramener la **dynamique** d'une image (discrète) dans la dynamique de l'affichage
  - ▶ *visualisation de données scientifiques (ex. : spectre de fourier)*

$$[0 .. X_{max}] \longrightarrow [0 .. 255]$$

- ▶ *format raw  $\longrightarrow$  format écran (ex. : photo couleur numérique)*

$$[0 .. 2^{16} - 1]^3 \longrightarrow [0 .. 255]^3$$

- ▶ réduire le nombre de niveaux / couleurs d'une image affichable

$$[0 .. 255] \longrightarrow [0 .. M - 1], \quad \text{avec } M \text{ petit}$$

- ▶ *réduire la taille de l'image*
  - ▶ *agréger les pixels voisins visuellement proches (effets spéciaux, segmentation)*

# 1. Introduction

## 1.1. Objectifs de la quantification

- ▶ discrétiser une information **continue** de luminance ou de couleurs :

$$\begin{aligned} [0, 1] &\longrightarrow [0 .. M-1] \\ \text{ou } [0, 1]^3 &\longrightarrow [0 .. M-1]^3 \end{aligned}$$

- ▶ ramener la **dynamique** d'une image (discrète) dans la dynamique de l'affichage
  - ▶ *visualisation de données scientifiques (ex. : spectre de fourier)*

$$[0 .. X_{max}] \longrightarrow [0 .. 255]$$

- ▶ *format raw  $\longrightarrow$  format écran (ex. : photo couleur numérique)*

$$[0 .. 2^{16} - 1]^3 \longrightarrow [0 .. 255]^3$$

- ▶ réduire le nombre de niveaux / couleurs d'une image affichable

$$[0 .. 255] \longrightarrow [0 .. M - 1], \quad \text{avec } M \text{ petit}$$

- ▶ *réduire la **taille** de l'image*
  - ▶ ***agréger** les pixels voisins visuellement proches (effets spéciaux, segmentation)*

## 1.2. Principe de mise en œuvre

- ▶ images monochromes

- ▶ *partitionner l'ensemble des niveaux de gris en  $M$  classes d'équivalences*

exemple :

$i$	[0..10]	[11..68]	[69..83]	[83..142]	[143..255]
$c_i$	0	1	2	3	4

- ▶ *choisir un représentant  $\bar{c}_i$  pour chaque classe  $c_i$*

exemple :

$i$	[0..10]	[11..68]	[69..83]	[83..142]	[143..255]
$\bar{c}_i$	5	12	75	138	199

- ▶ *fonction de quantification  $Q(i)$  : pour chaque pixel  $p$ ,  $I'(p) = \overline{c_{I(p)}}$*
- ▶ images couleur : même principe mais nécessite généralement un traitement vectoriel
- ▶ quantification uniforme (prédéfinie) ou adaptative (dépendant de l'image)

## 1.2. Principe de mise en œuvre

- ▶ images monochromes

- ▶ *partitionner l'ensemble des niveaux de gris en  $M$  classes d'équivalences*

exemple :

$i$	[0..10]	[11..68]	[69..83]	[83..142]	[143..255]
$c_i$	0	1	2	3	4

- ▶ *choisir un représentant  $\bar{c}_i$  pour chaque classe  $c_i$*

exemple :

$i$	[0..10]	[11..68]	[69..83]	[83..142]	[143..255]
$\bar{c}_i$	5	12	75	138	199

- ▶ *fonction de quantification  $Q(i)$  : pour chaque pixel  $p$ ,  $I'(p) = \overline{c_{I(p)}}$*

- ▶ images couleur : même principe mais nécessite généralement un traitement vectoriel
- ▶ quantification uniforme (prédéfinie) ou adaptative (dépendant de l'image)

## 1.2. Principe de mise en œuvre

- ▶ images monochromes

- ▶ *partitionner l'ensemble des niveaux de gris en  $M$  classes d'équivalences*

exemple :

$i$	[0..10]	[11..68]	[69..83]	[83..142]	[143..255]
$c_i$	0	1	2	3	4

- ▶ *choisir un représentant  $\bar{c}_i$  pour chaque classe  $c_i$*

exemple :

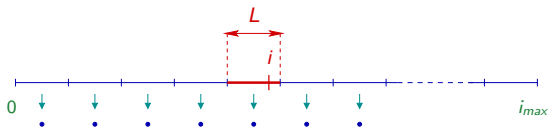
$i$	[0..10]	[11..68]	[69..83]	[83..142]	[143..255]
$\bar{c}_i$	5	12	75	138	199

- ▶ *fonction de quantification  $Q(i)$  : pour chaque pixel  $p$ ,  $I'(p) = \overline{c_{I(p)}}$*
- ▶ images couleur : même principe mais nécessite généralement un traitement vectoriel
- ▶ quantification uniforme (prédéfinie) ou adaptative (dépendant de l'image)

## 2. Quantification uniforme

### ○ Images monochrome

- ▶ découpage de  $[0 .. i_{max}]$  en  $M$  classes de même taille  $L$



$$L = \frac{i_{max} + 1}{M}$$

- ▶ classe de  $i$  (numérotée à partir de zéro)

$$c_i = \left\lfloor \frac{i}{L} \right\rfloor$$

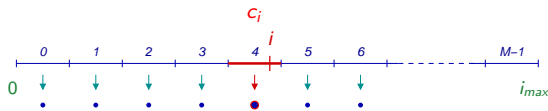
exemple  $i_{max} = 255$  et  $M = 10$  ; largeur :  $L = 25.5$

$$120 \rightarrow \frac{120}{25.5} = 4.7059 \rightarrow 4$$

## 2. Quantification uniforme

### o Images monochrome

- ▶ découpage de  $[0 .. i_{max}]$  en  $M$  classes de même taille  $L$



$$L = \frac{i_{max} + 1}{M}$$

- ▶ classe de  $i$  (numérotée à partir de zéro)

$$c_i = \left\lfloor \frac{i}{L} \right\rfloor$$

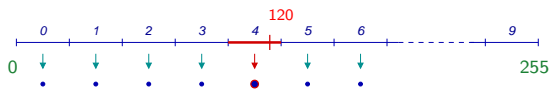
exemple  $i_{max} = 255$  et  $M = 10$  ; largeur :  $L = 25.5$

$$120 \rightarrow \frac{120}{25.5} = 4.7059 \rightarrow 4$$

## 2. Quantification uniforme

### ○ Images monochrome

- ▶ découpage de  $[0 .. i_{max}]$  en  $M$  classes de même taille  $L$



$$L = \frac{i_{max} + 1}{M}$$

- ▶ classe de  $i$  (numérotée à partir de zéro)

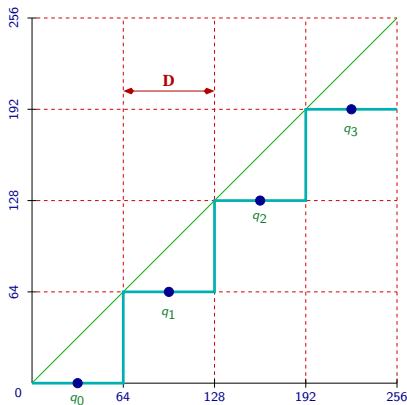
$$c_i = \left\lfloor \frac{i}{L} \right\rfloor$$

exemple  $i_{max} = 255$  et  $M = 10$ ; largeur :  $L = 25.5$

$$120 \rightarrow \frac{120}{25.5} = 4.7059 \rightarrow 4$$

- choisir le représentant de la classe  $c_i$

$$Q(i) = \left[ c_i \times L \right] + \frac{L}{2}$$

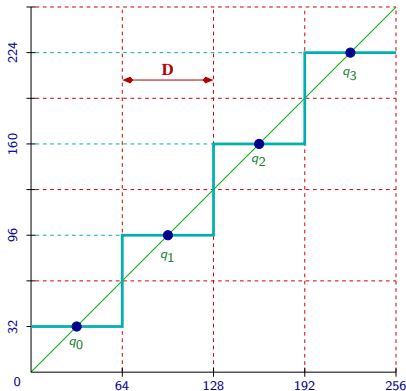


[0..63]	→	32
[64..127]	→	96
[128..191]	→	160
[192..255]	→	224

$$Q(i) = \left[ \left[ \frac{i}{L} \right] \times L + \frac{L}{2} \right], \text{ avec } L = \frac{i_{\max} + 1}{M}$$

- choisir le représentant de la classe  $c_i$

$$Q(i) = \left[ c_i \times L + \frac{L}{2} \right]$$



$[0..63]$	$\rightarrow$	32
$[64..127]$	$\rightarrow$	96
$[128..191]$	$\rightarrow$	160
$[192..255]$	$\rightarrow$	224

$$Q(i) = \left[ \left[ \frac{i}{L} \right] \times L + \frac{L}{2} \right], \text{ avec } L = \frac{i_{\max} + 1}{M}$$

► Exemple :



256 niveaux



8 niveaux



4 niveaux

○ Images couleur

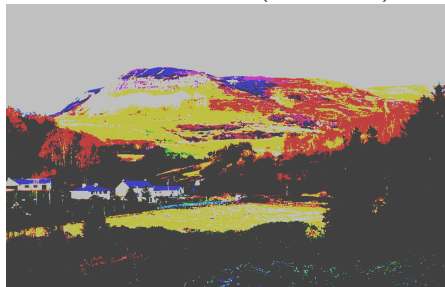
- ▶ quantification uniforme : marginale (effectuée indépendamment sur chaque canal)



256 niveaux



$4 \times 4 \times 4$  couleurs (39 utilisées)



$2 \times 2 \times 2$  couleurs

### 3. Loi de Weber-Fechner

La quantification uniforme n'est pas adaptée à la perception humaine



*E. H. Weber.*

$$\frac{\Delta I}{I} = \text{cte}$$

- ▶ loi formulée par Gustav Fechner (1801-1887) à partir des travaux expérimentaux d'Ernst Weber (1795-1878)
- ▶ étude quantitative du lien entre stimulus physiques et sensation (comparaisons de poids, de sons, de teintes)
- ▶ plus petite différence perceptible = fraction constante de l'excitant



### 3. Loi de Weber-Fechner

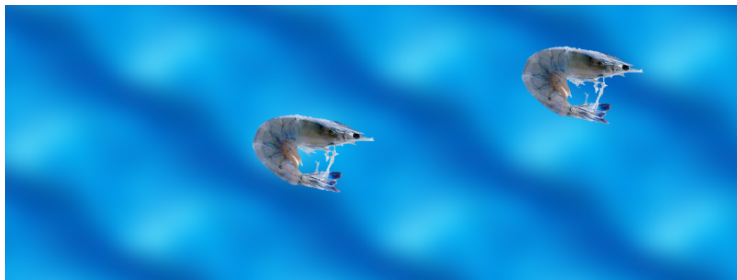
La quantification uniforme n'est pas adaptée à la perception humaine



*E. H. Weber.*

$$\frac{\Delta I}{I} = \text{cte}$$

- ▶ loi formulée par Gustav Fechner (1801-1887) à partir des travaux expérimentaux d'Ernst Weber (1795-1878)
- ▶ étude quantitative du lien entre stimulus physiques et sensation (comparaisons de poids, de sons, de teintes)
- ▶ plus petite différence perceptible = fraction constante de l'excitant



### 3. Loi de Weber-Fechner

La quantification uniforme n'est pas adaptée à la perception humaine



*E. H. Weber.*

$$\frac{\Delta I}{I} = \text{cte}$$

- ▶ loi formulée par Gustav Fechner (1801-1887) à partir des travaux expérimentaux d'Ernst Weber (1795-1878)
- ▶ étude quantitative du lien entre stimulus physiques et sensation (comparaisons de poids, de sons, de teintes)
- ▶ plus petite différence perceptible = fraction constante de l'excitant



### 3. Loi de Weber-Fechner

La quantification uniforme n'est pas adaptée à la perception humaine



*E. H. Weber.*

$$\frac{\Delta I}{I} = \text{cte}$$

- ▶ loi formulée par Gustav Fechner (1801-1887) à partir des travaux expérimentaux d'Ernst Weber (1795-1878)
- ▶ étude quantitative du lien entre stimulus physiques et sensation (comparaisons de poids, de sons, de teintes)
- ▶ plus petite différence perceptible = fraction constante de l'excitant



### 3. Loi de Weber-Fechner

La quantification uniforme n'est pas adaptée à la perception humaine



*E. H. Weber.*

$$\frac{\Delta I}{I} = \text{cte}$$

- ▶ loi formulée par Gustav Fechner (1801-1887) à partir des travaux expérimentaux d'Ernst Weber (1795-1878)
- ▶ étude quantitative du lien entre stimulus physiques et sensation (comparaisons de poids, de sons, de teintes)
- ▶ plus petite différence perceptible = fraction constante de l'excitant



### 3. Loi de Weber-Fechner

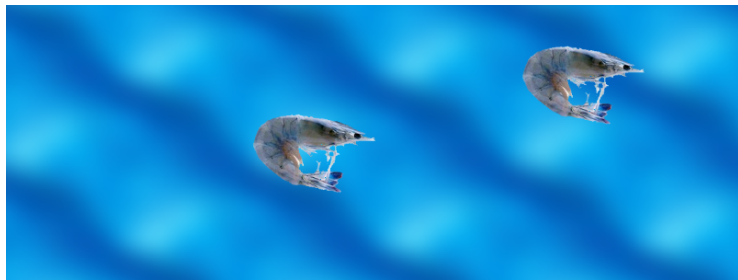
La quantification uniforme n'est pas adaptée à la perception humaine



*E. H. Weber.*

$$\frac{\Delta I}{I} = \text{cte}$$

- ▶ loi formulée par Gustav Fechner (1801-1887) à partir des travaux expérimentaux d'Ernst Weber (1795-1878)
- ▶ étude quantitative du lien entre stimulus physiques et sensation (comparaisons de poids, de sons, de teintes)
- ▶ plus petite différence perceptible = fraction constante de l'excitant



### 3. Loi de Weber-Fechner

La quantification uniforme n'est pas adaptée à la perception humaine



*E. H. Weber.*

$$\frac{\Delta I}{I} = \text{cte}$$

- ▶ loi formulée par Gustav Fechner (1801-1887) à partir des travaux expérimentaux d'Ernst Weber (1795-1878)
- ▶ étude quantitative du lien entre stimulus physiques et sensation (comparaisons de poids, de sons, de teintes)
- ▶ plus petite différence perceptible = fraction constante de l'excitant



### 3. Loi de Weber-Fechner

La quantification uniforme n'est pas adaptée à la perception humaine



*E. H. Weber.*

$$\frac{\Delta I}{I} = \text{cte}$$

- ▶ loi formulée par Gustav Fechner (1801-1887) à partir des travaux expérimentaux d'Ernst Weber (1795-1878)
- ▶ étude quantitative du lien entre stimulus physiques et sensation (comparaisons de poids, de sons, de teintes)
- ▶ plus petite différence perceptible = fraction constante de l'excitant



### 3. Loi de Weber-Fechner

La quantification uniforme n'est pas adaptée à la perception humaine



*E. H. Weber.*

$$\frac{\Delta I}{I} = \text{cte}$$

- ▶ loi formulée par Gustav Fechner (1801-1887) à partir des travaux expérimentaux d'Ernst Weber (1795-1878)
- ▶ étude quantitative du lien entre stimulus physiques et sensation (comparaisons de poids, de sons, de teintes)
- ▶ plus petite différence perceptible = fraction constante de l'excitant



○ Organiser les échantillons en progression géométrique

- ▶ correction **logarithmique** avant quantification uniforme



$$y = \lambda_1 \log_b(1 + \lambda_2 x) + \lambda_3$$

ex. : transformation  $[0, 1] \rightarrow [0, 1]$  (adaptée aux images sombres) :  $\frac{1}{8} \log_2(1 + 255x)$

- ▶ correction en **loi de puissance** :  $x^{\frac{1}{\alpha}}$

- ▶ *par exemple pour les images naturelles :*

$$\begin{array}{c} \simeq \frac{1}{3} \text{ (env. sombre)} \\ \uparrow \\ \frac{1}{\alpha} \\ \downarrow \\ \simeq 3 \text{ (env. très clair)} \end{array}$$

○ Organiser les échantillons en progression géométrique

- ▶ correction logarithmique avant quantification uniforme



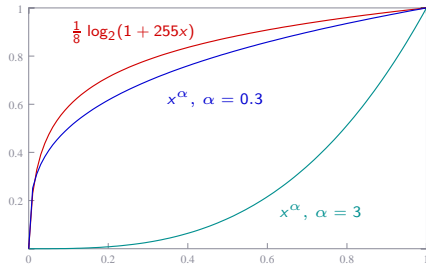
$$y = \lambda_1 \log_b(1 + \lambda_2 x) + \lambda_3$$

ex. : transformation  $[0, 1] \rightarrow [0, 1]$  (adaptée aux images sombres) :  $\frac{1}{8} \log_2(1 + 255x)$

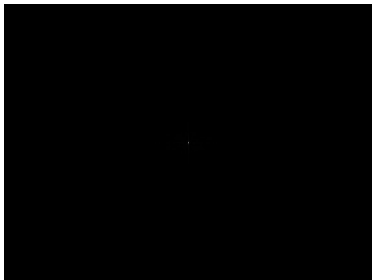
- ▶ correction en loi de puissance :  $x^{\frac{1}{\alpha}}$

- ▶ par exemple pour les images naturelles :

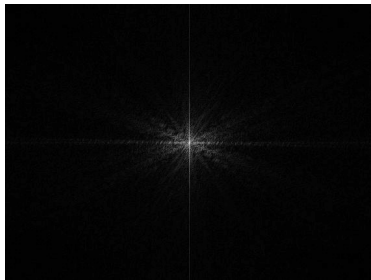
$$\begin{array}{c} \simeq \frac{1}{3} \text{ (env. sombre)} \\ \uparrow \\ \frac{1}{\alpha} \\ \downarrow \\ \simeq 3 \text{ (env. très clair)} \end{array}$$



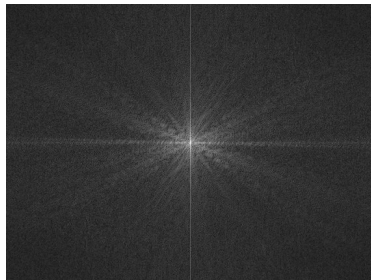
○ Exemple : visualisation de spectre d'amplitude



quantification uniforme  
(dynamique  $> 10^6$ )



idem après correction logarithmique

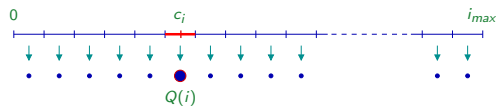


idem après correction  $x^{0.2}$

## 4. Quantification adaptative

### 4.1. Quantification optimale

- ▶ recherche d'une fonction  $Q_I(i)$  adaptée à chaque image  $I$  : optimiser la **définition des classes** et le **choix des représentants**

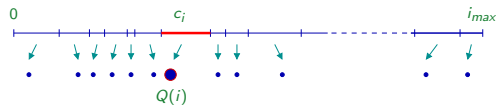


- ▶ objectif : minimiser l'écart entre  $I$  et  $Q_I(I)$  : **différence quadratique**

## 4. Quantification adaptative

### 4.1. Quantification optimale

- ▶ recherche d'une fonction  $Q_I(i)$  adaptée à chaque image  $I$  : optimiser la **définition des classes** et le **choix des représentants**

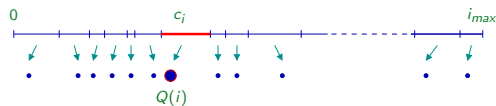


- ▶ objectif : minimiser l'écart entre  $I$  et  $Q_I(I)$  : **différence quadratique**

## 4. Quantification adaptative

### 4.1. Quantification optimale

- recherche d'une fonction  $Q_I(i)$  adaptée à chaque image  $I$  : optimiser la **définition des classes** et le **choix des représentants**



- objectif : minimiser l'écart entre  $I$  et  $Q_I(I)$  : **différence quadratique**

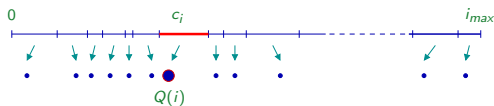


$$DQ(I_1, I_2) = \sum_{p \in D} (I_1(p) - I_2(p))^2$$

## 4. Quantification adaptative

### 4.1. Quantification optimale

- recherche d'une fonction  $Q_I(i)$  adaptée à chaque image  $I$  : optimiser la **définition des classes** et le **choix des représentants**



- objectif : minimiser l'écart entre  $I$  et  $Q_I(I)$  : **différence quadratique**



$$\begin{aligned} & (236 - 205)^2 \\ & + (204 - 148)^2 \\ & + (95 - 97)^2 \\ & = 4101 \end{aligned}$$

$$DQ(I_1, I_2) = \sum_{p \in D} (I_1(p) - I_2(p))^2$$

## 4.2. Images monochromes : quantification sous-optimale

- découpage de l'ensemble des  $N$  niveaux de gris en  $M$  intervalles  $[t_i, t_{i+1}]$

$$[t_0, t_1]$$

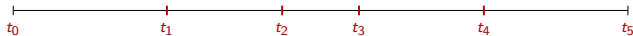
$$[t_1, t_2]$$

$$\vdots$$

$$[t_{M-1}, t_M]$$

$$\text{avec } t_0 = 0 < t_1 < \dots < t_M = N-1$$

- choix d'un représentant  $r_j$  pour chaque intervalle



$$\forall i \text{ t.q. } t_j \leq i < t_{j+1}, Q(i) = r_j$$

- trouver les  $\{t_j\}$  et  $\{r_j\}$  minimisant la différence quadratique entre  $I$  et  $Q(I)$

## 4.2. Images monochromes : quantification sous-optimale

- découpage de l'ensemble des  $N$  niveaux de gris en  $M$  intervalles  $[t_i, t_{i+1}]$

$$[t_0, t_1]$$

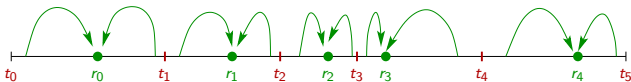
$$[t_1, t_2]$$

⋮

$$[t_{M-1}, t_M]$$

$$\text{avec } t_0 = 0 < t_1 < \dots < t_M = N-1$$

- choix d'un représentant  $r_j$  pour chaque intervalle



$$\forall i \text{ t.q. } t_j \leq i < t_{j+1}, Q(i) = r_j$$

- trouver les  $\{t_j\}$  et  $\{r_j\}$  minimisant la différence quadratique entre  $I$  et  $Q(I)$

## 4.2. Images monochromes : quantification sous-optimale

- découpage de l'ensemble des  $N$  niveaux de gris en  $M$  intervalles  $[t_i, t_{i+1}]$

$$[t_0, t_1]$$

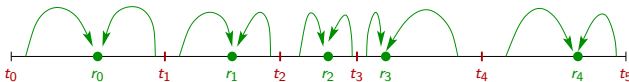
$$[t_1, t_2]$$

⋮

$$[t_{M-1}, t_M]$$

$$\text{avec } t_0 = 0 < t_1 < \dots < t_M = N-1$$

- choix d'un représentant  $r_j$  pour chaque intervalle



$$\forall i \text{ t.q. } t_j \leq i < t_{j+1}, Q(i) = r_j$$

- trouver les  $\{t_j\}$  et  $\{r_j\}$  minimisant la différence quadratique entre  $I$  et  $Q(I)$

- ▶ on peut montrer que les  $\{t_j\}$  et  $\{r_j\}$  doivent satisfaire deux conditions :

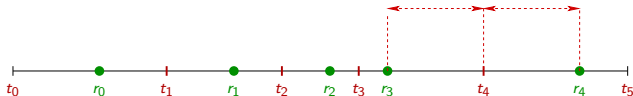
- ▶  $t_i$  est le milieu du segment  $\overline{r_{i-1}r_i}$

$$t_i = \frac{r_{i-1} + r_i}{2}, \quad i = 1, 2, \dots, K - 1$$

- ▶  $r_i$  est la moyenne de tous les pixels  $p$  tels que  $I(p) \in [t_i, t_{i+1}]$

$$r_i = \sum_{j=t_i}^{t_{i+1}-1} jh'(j), \quad i = 1, 2, \dots, K$$

où  $h'$  est l'histogramme normalisé de l'image



- ▶ conditions nécessaires mais non suffisantes : sous-optimal

- ▶ on peut montrer que les  $\{t_j\}$  et  $\{r_j\}$  doivent satisfaire deux conditions :

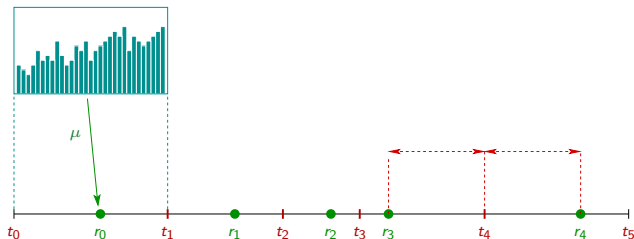
- ▶  $t_i$  est le milieu du segment  $\overline{r_{i-1}r_i}$

$$t_i = \frac{r_{i-1} + r_i}{2}, \quad i = 1, 2, \dots, K - 1$$

- ▶  $r_i$  est la moyenne de tous les pixels  $p$  tels que  $I(p) \in [t_i, t_{i+1}]$

$$r_i = \sum_{j=t_i}^{t_{i+1}-1} jh'(j), \quad i = 1, 2, \dots, K$$

où  $h'$  est l'histogramme normalisé de l'image



- ▶ conditions nécessaires mais non suffisantes : sous-optimal

- ▶ on peut montrer que les  $\{t_j\}$  et  $\{r_j\}$  doivent satisfaire deux conditions :

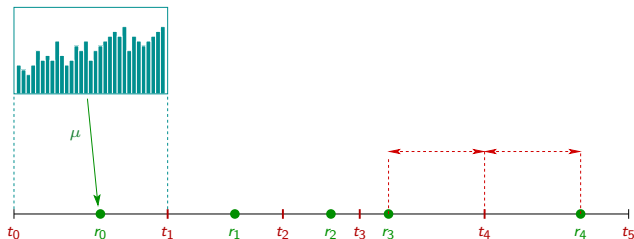
- ▶  $t_i$  est le **milieu** du segment  $\overline{r_{i-1}r_i}$

$$t_i = \frac{r_{i-1} + r_i}{2}, \quad i = 1, 2, \dots, K - 1$$

- ▶  $r_i$  est la **moyenne** de tous les pixels  $p$  tels que  $l(p) \in [t_i, t_{i+1}]$

$$r_i = \sum_{j=t_i}^{t_{i+1}-1} jh'(j), \quad i = 1, 2, \dots, K$$

où  $h'$  est l'histogramme normalisé de l'image



- ▶ conditions nécessaires mais **non suffisantes** : **sous-optimal**

○ Exemple avec l'image des éoliennes pour  $M = 5$



- ▶ initialisation des  $t_i$  de manière équirépartie

0	51	102	153	204	255
---	----	-----	-----	-----	-----

(1)

- ▶ algorithme de Lloyd-Max : répéter
1. calcul des  $r_i$  en fonction des  $t_i$  (moyennes)
  2. calcul des  $t_i$  en fonction des  $r_i$  (milieux)
- jusqu'à la stabilité des données
- ▶ solution sous-optimale mais convergence rapide

○ Exemple avec l'image des éoliennes pour  $M = 5$



- ▶ initialisation des  $t_i$  de manière équirépartie

0	27	51	79	102	123	153	176	204	226	255
---	----	----	----	-----	-----	-----	-----	-----	-----	-----

(2)

- ▶ algorithme de Lloyd-Max : répéter
1. calcul des  $r_i$  en fonction des  $t_i$  (moyennes)
  2. calcul des  $t_i$  en fonction des  $r_i$  (milieux)

jusqu'à la stabilité des données

- ▶ solution sous-optimale mais convergence rapide

○ Exemple avec l'image des éoliennes pour  $M = 5$



- ▶ initialisation des  $t_i$  de manière équirépartie

0	27	53	79	101	123	149	176	201	226	255
---	----	----	----	-----	-----	-----	-----	-----	-----	-----

(3)

- ▶ algorithme de Lloyd-Max : répéter
1. calcul des  $r_i$  en fonction des  $t_i$  (moyennes)
  2. calcul des  $t_i$  en fonction des  $r_i$  (milieux)

jusqu'à la stabilité des données

- ▶ solution sous-optimale mais convergence rapide

○ Exemple avec l'image des éoliennes pour  $M = 5$



- ▶ initialisation des  $t_i$  de manière équirépartie

0	28	53	78	99	115	146	169	199	226	255
---	----	----	----	----	-----	-----	-----	-----	-----	-----

(4)

- ▶ algorithme de Lloyd-Max : répéter
1. calcul des  $r_i$  en fonction des  $t_i$  (moyennes)
  2. calcul des  $t_i$  en fonction des  $r_i$  (milieux)

jusqu'à la stabilité des données

- ▶ solution sous-optimale mais convergence rapide

○ Exemple avec l'image des éoliennes pour  $M = 5$



5  
→



- ▶ initialisation des  $t_i$  de manière équirépartie

0	28	53	75	96	112	142	168	197	226	255
---	----	----	----	----	-----	-----	-----	-----	-----	-----

(5)

- ▶ algorithme de Lloyd-Max : répéter
  1. calcul des  $r_i$  en fonction des  $t_i$  (moyennes)
  2. calcul des  $t_i$  en fonction des  $r_i$  (milieux)

jusqu'à la stabilité des données

- ▶ solution sous-optimale mais convergence rapide

○ Exemple avec l'image des éoliennes pour  $M = 5$



5  
→



- ▶ initialisation des  $t_i$  de manière équirépartie

0	27	51	73	93	109	140	168	197	226	255
---	----	----	----	----	-----	-----	-----	-----	-----	-----

(6)

- ▶ algorithme de Lloyd-Max : répéter
1. calcul des  $r_i$  en fonction des  $t_i$  (moyennes)
  2. calcul des  $t_i$  en fonction des  $r_i$  (milieux)

jusqu'à la stabilité des données

- ▶ solution sous-optimale mais convergence rapide

○ Exemple avec l'image des éoliennes pour  $M = 5$



5  
→



- ▶ initialisation des  $t_i$  de manière équirépartie

0	27	50	70	91	108	138	167	197	226	255
---	----	----	----	----	-----	-----	-----	-----	-----	-----

(7)

- ▶ algorithme de Lloyd-Max : répéter
  1. calcul des  $r_i$  en fonction des  $t_i$  (moyennes)
  2. calcul des  $t_i$  en fonction des  $r_i$  (milieux)

jusqu'à la stabilité des données

- ▶ solution sous-optimale mais convergence rapide

○ Exemple avec l'image des éoliennes pour  $M = 5$



5  
→



- ▶ initialisation des  $t_i$  de manière équirépartie

0	25	48	68	89	107	137	166	196	226	255
---	----	----	----	----	-----	-----	-----	-----	-----	-----

(8)

- ▶ algorithme de Lloyd-Max : répéter
  1. calcul des  $r_i$  en fonction des  $t_i$  (moyennes)
  2. calcul des  $t_i$  en fonction des  $r_i$  (milieux)

jusqu'à la stabilité des données

- ▶ solution sous-optimale mais convergence rapide

○ Exemple avec l'image des éoliennes pour  $M = 5$



- ▶ initialisation des  $t_i$  de manière équirépartie

0	25	46	66	87	105	136	166	196	226	255
---	----	----	----	----	-----	-----	-----	-----	-----	-----

(9)

- ▶ algorithme de Lloyd-Max : répéter
1. calcul des  $r_i$  en fonction des  $t_i$  (moyennes)
  2. calcul des  $t_i$  en fonction des  $r_i$  (milieux)

jusqu'à la stabilité des données

- ▶ solution sous-optimale mais convergence rapide

○ Exemple avec l'image des éoliennes pour  $M = 5$



- ▶ initialisation des  $t_i$  de manière équirépartie

0	24	45	64	85	104	135	166	196	226	255
---	----	----	----	----	-----	-----	-----	-----	-----	-----

(10)

- ▶ algorithme de Lloyd-Max : répéter
1. calcul des  $r_i$  en fonction des  $t_i$  (moyennes)
  2. calcul des  $t_i$  en fonction des  $r_i$  (milieux)

jusqu'à la stabilité des données

- ▶ solution sous-optimale mais convergence rapide

○ Exemple avec l'image des éoliennes pour  $M = 5$



- ▶ initialisation des  $t_i$  de manière équirépartie

0	23	44	63	84	104	135	166	196	226	255
---	----	----	----	----	-----	-----	-----	-----	-----	-----

(11)

- ▶ algorithme de Lloyd-Max : répéter
1. calcul des  $r_i$  en fonction des  $t_i$  (moyennes)
  2. calcul des  $t_i$  en fonction des  $r_i$  (milieux)

jusqu'à la stabilité des données

- ▶ solution sous-optimale mais convergence rapide

○ Exemple avec l'image des éoliennes pour  $M = 5$



- ▶ initialisation des  $t_i$  de manière équirépartie

0	23	43	61	83	103	135	166	196	226	255
---	----	----	----	----	-----	-----	-----	-----	-----	-----

(12)

- ▶ algorithme de Lloyd-Max : répéter
1. calcul des  $r_i$  en fonction des  $t_i$  (moyennes)
  2. calcul des  $t_i$  en fonction des  $r_i$  (milieux)

jusqu'à la stabilité des données

- ▶ solution sous-optimale mais convergence rapide

○ Exemple avec l'image des éoliennes pour  $M = 5$



- ▶ initialisation des  $t_i$  de manière équirépartie

0	22	42	61	82	103	134	166	196	226	255
---	----	----	----	----	-----	-----	-----	-----	-----	-----

(13)

- ▶ algorithme de Lloyd-Max : répéter
1. calcul des  $r_i$  en fonction des  $t_i$  (moyennes)
  2. calcul des  $t_i$  en fonction des  $r_i$  (milieux)

jusqu'à la stabilité des données

- ▶ solution sous-optimale mais convergence rapide

○ Exemple avec l'image des éoliennes pour  $M = 5$



- ▶ initialisation des  $t_i$  de manière équirépartie

0	22	41	60	82	103	134	166	196	226	255
---	----	----	----	----	-----	-----	-----	-----	-----	-----

(14)

- ▶ algorithme de Lloyd-Max : répéter
1. calcul des  $r_i$  en fonction des  $t_i$  (moyennes)
  2. calcul des  $t_i$  en fonction des  $r_i$  (milieux)

jusqu'à la stabilité des données

- ▶ solution sous-optimale mais convergence rapide

○ Exemple avec l'image des éoliennes pour  $M = 5$



- ▶ initialisation des  $t_i$  de manière équirépartie

0	22	41	59	81	103	134	166	196	226	255
---	----	----	----	----	-----	-----	-----	-----	-----	-----

(15)

- ▶ algorithme de Lloyd-Max : répéter
1. calcul des  $r_i$  en fonction des  $t_i$  (moyennes)
  2. calcul des  $t_i$  en fonction des  $r_i$  (milieux)

jusqu'à la stabilité des données

- ▶ solution sous-optimale mais convergence rapide

○ Exemple avec l'image des éoliennes pour  $M = 5$



- ▶ initialisation des  $t_i$  de manière équirépartie

0	21	40	58	81	103	134	166	196	226	255
---	----	----	----	----	-----	-----	-----	-----	-----	-----

(16)

- ▶ algorithme de Lloyd-Max : répéter
1. calcul des  $r_i$  en fonction des  $t_i$  (moyennes)
  2. calcul des  $t_i$  en fonction des  $r_i$  (milieux)

jusqu'à la stabilité des données

- ▶ solution sous-optimale mais convergence rapide

○ Exemple avec l'image des éoliennes pour  $M = 5$



- initialisation des  $t_i$  de manière équirépartie

0	21	39	58	80	102	134	166	196	226	255
---	----	----	----	----	-----	-----	-----	-----	-----	-----

(17)

- algorithme de Lloyd-Max : répéter
1. calcul des  $r_i$  en fonction des  $t_i$  (moyennes)
  2. calcul des  $t_i$  en fonction des  $r_i$  (milieux)

jusqu'à la stabilité des données

- solution sous-optimale mais convergence rapide

○ Exemple avec l'image des éoliennes pour  $M = 5$



- ▶ initialisation des  $t_i$  de manière équirépartie

0	21	39	58	80	102	134	166	196	226	255
---	----	----	----	----	-----	-----	-----	-----	-----	-----

(18)

- ▶ algorithme de Lloyd-Max : répéter
1. calcul des  $r_i$  en fonction des  $t_i$  (moyennes)
  2. calcul des  $t_i$  en fonction des  $r_i$  (milieux)
- jusqu'à la stabilité des données
- ▶ solution **sous-optimale** mais convergence **rapide**

○ Exemples



*256 niveaux*



*uniforme*



*5 niveaux*



*8 niveaux*

*adaptative*

○ Exemples



*256 niveaux*



*5 niveaux*



*uniforme*



*5 niveaux*



*adaptive*

*8 niveaux*

○ Exemples



*256 niveaux*



*uniforme*



*5 niveaux*



*8 niveaux*

*adaptative*

# ★ Quantification d'images en niveaux de gris (1)



$I_s$



I



J



K

Les images I, J et K montrent les résultats de trois quantifications sur six niveaux de gris de l'image de gauche. Retrouvez pour chaque image la méthode de quantification utilisée.

$$\alpha = 1.6 \quad \left(\frac{1}{\alpha} = 0.625\right)$$

	A	B	C	D
uniforme	K	J	J	I
uniforme après correction $I_s^{1/\alpha}$	I	K	I	K
adaptative	J	I	K	J

# ★ Quantification d'images en niveaux de gris (1)



$I_s$



I



J



K

Les images I, J et K montrent les résultats de trois quantifications sur six niveaux de gris de l'image de gauche. Retrouvez pour chaque image la méthode de quantification utilisée.

$$\alpha = 1.6 \quad \left(\frac{1}{\alpha} = 0.625\right)$$

	A	B	C	D
uniforme	K	J	J	I
uniforme après correction $I_s^{1/\alpha}$	I	K	I	K
adaptative	J	I	K	J

## ★ Quantification d'images en niveaux de gris (2)



I



J



K

Les images I, J et K montrent les résultats de trois quantifications sur huit niveaux de gris de l'image de gauche. Retrouvez pour chaque image la méthode de quantification utilisée.

$$\alpha = 0.6 \quad \left(\frac{1}{\alpha} = 1.666\dots\right)$$

	A	B	C	D
uniforme	I	K	K	J
uniforme après correction $I^{1/\alpha}$	J	J	I	I
adaptative	K	I	J	K

## ★ Quantification d'images en niveaux de gris (2)



I



J



K

Les images I, J et K montrent les résultats de trois quantifications sur huit niveaux de gris de l'image de gauche. Retrouvez pour chaque image la méthode de quantification utilisée.

$$\alpha = 0.6 \quad \left(\frac{1}{\alpha} = 1.666\dots\right)$$

	A	B	C	D
uniforme	I	K	K	J
uniforme après correction $I^{1/\alpha}$	J	J	I	I
adaptative	K	I	J	K

## 4.3. Quantification adaptative d'images couleur

### ○ Quantification optimale d'image couleur

- ▶ même principe qu'en dimension 1 :

- ▶ partitionner l'ensemble  $C$  des couleurs de  $I$  en  $n$  classes d'équivalence

$$C = C_1 \cup \dots \cup C_n \quad \text{et} \quad C_i \cap C_j = \emptyset$$

- ▶ choisir les *représentants* des classes :  $\{\bar{c}_1, \dots, \bar{c}_n\}$
  - ▶ pour chaque couleur  $c$  trouver la classe  $C_k$  qui la contient :

$$Q_I(c) = \bar{c}_k$$

de manière à minimiser  $EQ(I, Q_I(I))$

- ▶ mais problème **NP-complet** en dimension 3  $\rightarrow$  heuristiques
- ▶ différentes stratégies
  - ▶ méthodes de *popularité* : couleurs les plus présentes (résultats médiocres)
  - ▶ méthodes de *fusion*
  - ▶ méthodes de *division*
  - ▶ etc.

## 4.3. Quantification adaptative d'images couleur

### ○ Quantification optimale d'image couleur

- ▶ même principe qu'en dimension 1 :

- ▶ partitionner l'ensemble  $C$  des couleurs de  $I$  en  $n$  classes d'équivalence

$$C = C_1 \cup \dots \cup C_n \quad \text{et} \quad C_i \cap C_j = \emptyset$$

- ▶ choisir les *représentants* des classes :  $\{\bar{c}_1, \dots, \bar{c}_n\}$

- ▶ pour chaque couleur  $c$  trouver la classe  $C_k$  qui la contient :

$$Q_I(c) = \bar{c}_k$$

de manière à minimiser  $EQ(I, Q_I(I))$

- ▶ mais problème **NP-complet** en dimension 3  $\longrightarrow$  heuristiques

- ▶ différentes stratégies

- ▶ méthodes de *popularité* : couleurs les plus présentes (résultats médiocres)

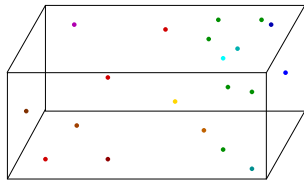
- ▶ méthodes de *fusion*

- ▶ méthodes de *division*

- ▶ etc.

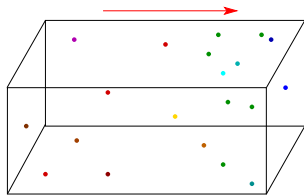
○ **Algorithme d'Heckbert : coupe médiane (ou median cut) – division [1982]**

- ▶ construire une **boîte parallélépipédique RGB** minimale contenant toutes les couleurs de l'image
- ▶ sélectionner l'axe (R,G,B) le long duquel lequel la taille de la boîte est **maximale**
- ▶ couper la boîte au **point médian** (même nombre de points dans l'image pour chaque sous-ensemble de couleur)
- ▶ recommencer avec la boîte de **plus grande taille** jusqu'à obtenir le nombre de boîtes recherché



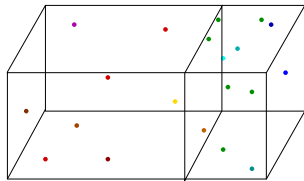
- ▶ représentant : **moyenne** des couleurs de la classe
- ▶ résultat codable par un **arbre binaire de recherche**
- ▶ nombreuses variantes : équilibrage des sommes de **variances**, espaces de couleur **uniformes**, découpe en plusieurs sous-boîtes, axes de composantes principales, etc.

- **Algorithme d'Heckbert : coupe médiane (ou median cut) – division [1982]**
  - ▶ construire une **boîte parallélépipédique RGB** minimale contenant toutes les couleurs de l'image
  - ▶ sélectionner l'axe (R,G,B) le long duquel lequel la taille de la boîte est **maximale**
  - ▶ couper la boîte au **point médian** (même nombre de points dans l'image pour chaque sous-ensemble de couleur)
  - ▶ recommencer avec la boîte de **plus grande taille** jusqu'à obtenir le nombre de boîtes recherché



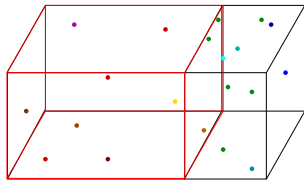
- ▶ représentant : **moyenne** des couleurs de la classe
- ▶ résultat codable par un **arbre binaire de recherche**
- ▶ nombreuses variantes : équilibrage des sommes de **variances**, espaces de couleur **uniformes**, découpe en plusieurs sous-boîtes, axes de composantes principales, etc.

- **Algorithme d'Heckbert : coupe médiane (ou median cut) – division [1982]**
  - ▶ construire une **boîte parallélépipédique RGB** minimale contenant toutes les couleurs de l'image
  - ▶ sélectionner l'axe (R,G,B) le long duquel lequel la taille de la boîte est **maximale**
  - ▶ couper la boîte au **point médian** (même nombre de points dans l'image pour chaque sous-ensemble de couleur)
  - ▶ recommencer avec la boîte de **plus grande taille** jusqu'à obtenir le nombre de boîtes recherché



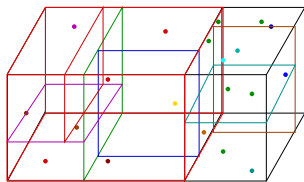
- ▶ représentant : **moyenne** des couleurs de la classe
- ▶ résultat codable par un **arbre binaire de recherche**
- ▶ nombreuses variantes : équilibrage des sommes de **variances**, espaces de couleur **uniformes**, découpe en plusieurs sous-boîtes, axes de composantes principales, etc.

- **Algorithme d'Heckbert : coupe médiane (ou median cut) – division [1982]**
  - ▶ construire une **boîte parallélépipédique RGB** minimale contenant toutes les couleurs de l'image
  - ▶ sélectionner l'axe (R,G,B) le long duquel lequel la taille de la boîte est **maximale**
  - ▶ couper la boîte au **point médian** (même nombre de points dans l'image pour chaque sous-ensemble de couleur)
  - ▶ recommencer avec la boîte de **plus grande taille** jusqu'à obtenir le nombre de boîtes recherché



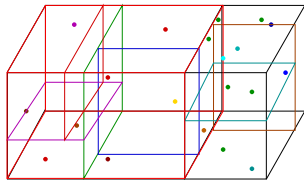
- ▶ représentant : **moyenne** des couleurs de la classe
- ▶ résultat codable par un **arbre binaire de recherche**
- ▶ nombreuses variantes : équilibrage des sommes de **variances**, espaces de couleur **uniformes**, découpe en plusieurs sous-boîtes, axes de composantes principales, etc.

- **Algorithme d'Heckbert : coupe médiane (ou median cut) – division [1982]**
  - ▶ construire une **boîte parallélépipédique RGB** minimale contenant toutes les couleurs de l'image
  - ▶ sélectionner l'axe (R,G,B) le long duquel lequel la taille de la boîte est **maximale**
  - ▶ couper la boîte au **point médian** (même nombre de points dans l'image pour chaque sous-ensemble de couleur)
  - ▶ recommencer avec la boîte de **plus grande taille** jusqu'à obtenir le nombre de boîtes recherché



- ▶ représentant : **moyenne** des couleurs de la classe
- ▶ résultat codable par un **arbre binaire de recherche**
- ▶ nombreuses variantes : équilibrage des sommes de **variances**, espaces de couleur **uniformes**, découpe en plusieurs sous-boîtes, axes de composantes principales, etc.

- **Algorithme d'Heckbert : coupe médiane (ou median cut) – division [1982]**
  - ▶ construire une **boîte parallélépipédique RGB** minimale contenant toutes les couleurs de l'image
  - ▶ sélectionner l'axe (R,G,B) le long duquel lequel la taille de la boîte est **maximale**
  - ▶ couper la boîte au **point médian** (même nombre de points dans l'image pour chaque sous-ensemble de couleur)
  - ▶ recommencer avec la boîte de **plus grande taille** jusqu'à obtenir le nombre de boîtes recherché

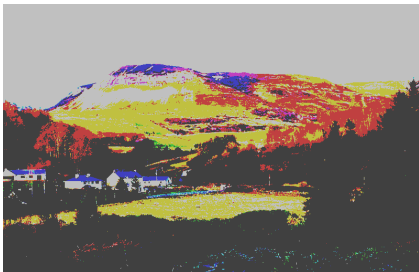


- ▶ représentant : **moyenne** des couleurs de la classe
- ▶ résultat codable par un **arbre binaire de recherche**
- ▶ nombreuses variantes : équilibrage des sommes de **variances**, espaces de couleur **uniformes**, découpe en plusieurs sous-boîtes, axes de composantes principales, etc.

○ Comparaison de quantification uniforme (ligne 1) et adaptative par coupe médiane (ligne 2)



*256 niveaux*



*8 couleurs*



*64 couleurs*

## ★ Quantification optimale

Certaines des méthodes de quantification suivantes sont-elles construites sur un principe de recherche de solution optimale ?

	A	B	C	D	E
quantification uniforme	non	non	non	non	oui
algorithme de Lloyd-Max	non	oui	non	oui	oui
algorithme d'Heckbert	non	non	oui	oui	oui

## ★ Quantification optimale

Certaines des méthodes de quantification suivantes sont-elles construites sur un principe de recherche de solution optimale ?

	A	B	C	D	E
quantification uniforme	non	non	non	non	oui
algorithme de Lloyd-Max	non	oui	non	oui	oui
algorithme d'Heckbert	non	non	oui	oui	oui

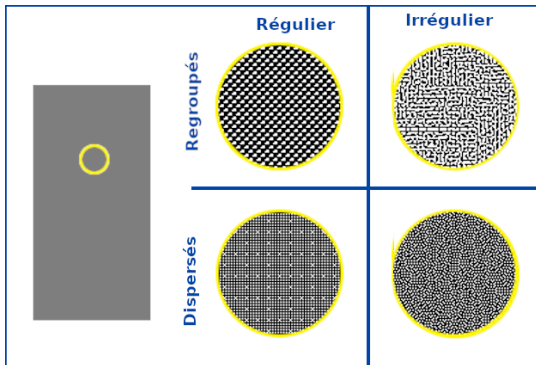
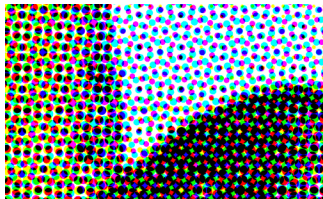
Une méthode optimale

- dépend de l'image : ce n'est pas le cas de la quantification uniforme
- optimise un objectif (ici minimiser  $EQ(I, Q_I(I))$ ) : ce n'est pas le cas de la coupe médiane qui est une heuristique

# 5. Tramage (dithering)

## 5.1. Principe

- ▶ simuler une gamme de gris ou de couleurs par variation de densité de points (effet intégrateur de l'œil / mélange optique)
  - ▶ utilisation de technologie à rendu binaire (impression monochrome, quadrichromie, etc.)
  - ▶ compensation les défauts de quantification
  - ▶ effets graphiques



## 5.2. Tramage irrégulier : diffusion d'erreur

- ▶ Floyd et Steinberg (1976)
- ▶ principe de base : adaptation locale de la quantification uniforme sur deux niveaux

$$\text{si } (I[i][j] > \frac{1}{2}) \text{ alors } I'[i][j] = 1 \\ \text{sinon } I'[i][j] = 0$$

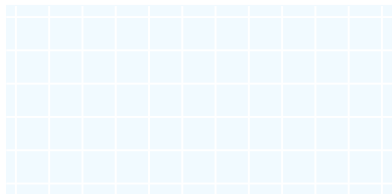
- ▶ pour chaque point seuillé, calcul de l'erreur commise  $e$

$$e = I'[i][j] - I[i][j]$$

exemple : si  $I(P) = 0.7$ , on a  $0.7 > 0.5 \rightarrow I'(p) = 1$  et  $e = 0.3$

- ▶ propagation de  $-e$  sur les 4 voisins non encore traités

$$e \times \begin{pmatrix} \cdot & \cdot & \cdot \\ \cdot & \diamond & \frac{7}{16} \\ \frac{3}{16} & \frac{5}{16} & \frac{1}{16} \end{pmatrix}$$



- ▶ applicable à toute quantification : monochrome ou RGB, uniforme ou adaptative

## 5.2. Tramage irrégulier : diffusion d'erreur

- ▶ Floyd et Steinberg (1976)
- ▶ principe de base : adaptation locale de la quantification uniforme sur deux niveaux

$$\text{si } (I[i][j] > \frac{1}{2}) \text{ alors } I'[i][j] = 1 \\ \text{sinon } I'[i][j] = 0$$

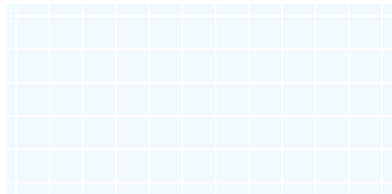
- ▶ pour chaque point seuillé, calcul de l'erreur commise  $e$

$$e = I'[i][j] - I[i][j]$$

exemple : si  $I(P) = 0.7$ , on a  $0.7 > 0.5 \rightarrow I'(p) = 1$  et  $e = 0.3$

- ▶ propagation de  $-e$  sur les 4 voisins non encore traités

$$e \times \begin{pmatrix} \cdot & \cdot & \cdot \\ \cdot & \diamond & \frac{7}{16} \\ \frac{3}{16} & \frac{5}{16} & \frac{1}{16} \end{pmatrix}$$



- ▶ applicable à toute quantification : monochrome ou RGB, uniforme ou adaptative

## 5.2. Tramage irrégulier : diffusion d'erreur

- ▶ Floyd et Steinberg (1976)
- ▶ principe de base : adaptation locale de la quantification uniforme sur deux niveaux

$$\text{si } (I[i][j] > \frac{1}{2}) \text{ alors } I'[i][j] = 1 \\ \text{sinon } I'[i][j] = 0$$

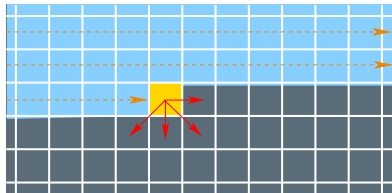
- ▶ pour chaque point seuillé, calcul de l'erreur commise  $e$

$$e = I'[i][j] - I[i][j]$$

exemple : si  $I(P) = 0.7$ , on a  $0.7 > 0.5 \rightarrow I'(p) = 1$  et  $e = 0.3$

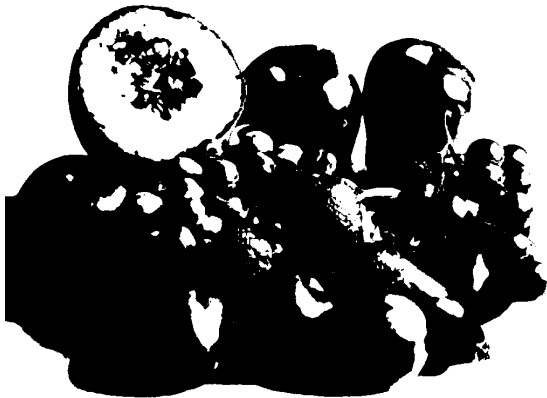
- ▶ propagation de  $-e$  sur les 4 voisins non encore traités

$$e \times \begin{pmatrix} \cdot & \cdot & \cdot \\ \cdot & \diamond & \frac{7}{16} \\ \frac{3}{16} & \frac{5}{16} & \frac{1}{16} \end{pmatrix}$$

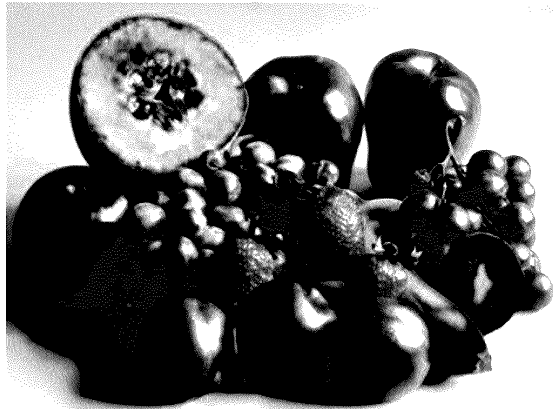


- ▶ applicable à toute quantification : monochrome ou RGB, uniforme ou adaptative

○ Exemple de tramage par diffusion d'erreur



Seuillage binaire

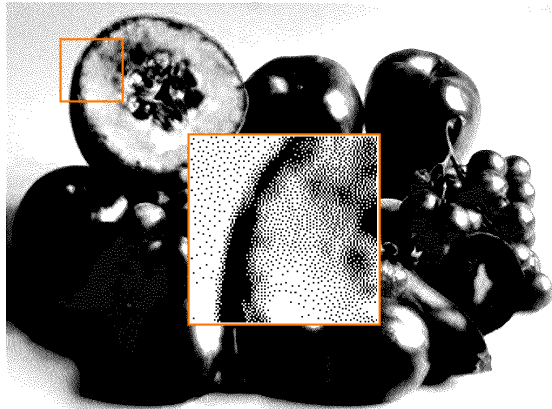


Seuillage binaire avec diffusion d'erreur

o Exemple de tramage par diffusion d'erreur



Seuillage binaire



Seuillage binaire avec diffusion d'erreur

○ Exemple de tramage / diffusion d'erreur associé à une quantificationsur huit niveaux



256 niveaux de gris



○ Exemple de tramage / diffusion d'erreur associé à une quantification sur huit niveaux



256 niveaux de gris



uniforme

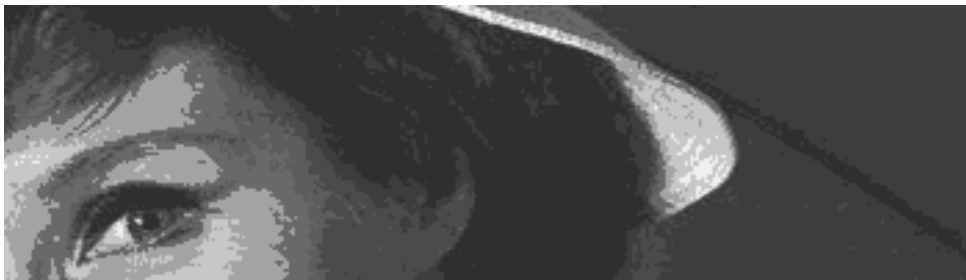


adaptative

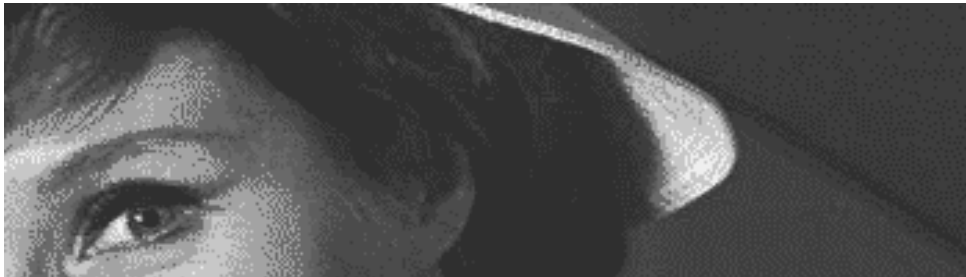
quantification sur huit niveaux de gris



quantification uniforme



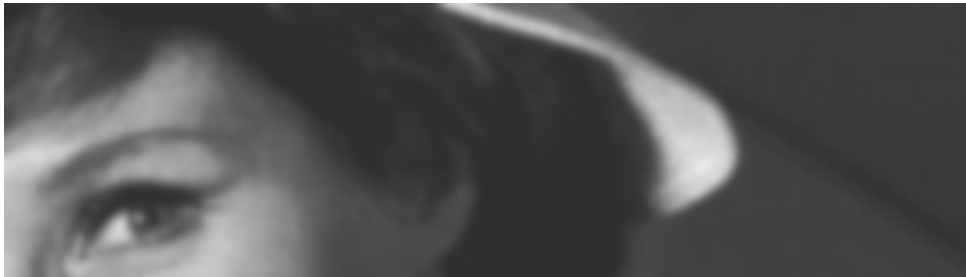
quantification adaptative



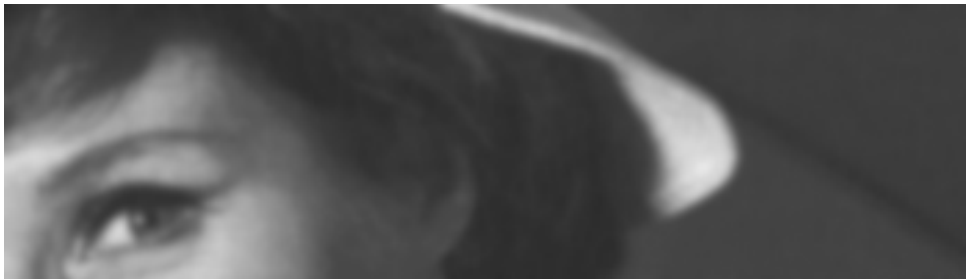
quantification uniforme avec diffusion d'erreur



quantification adaptative avec diffusion d'erreur



quantification uniforme avec diffusion d'erreur



quantification adaptative avec diffusion d'erreur



I (162263 couleurs)



quantification uniforme de I sur huit couleurs (seuillage  $2 \times 2 \times 2$ )



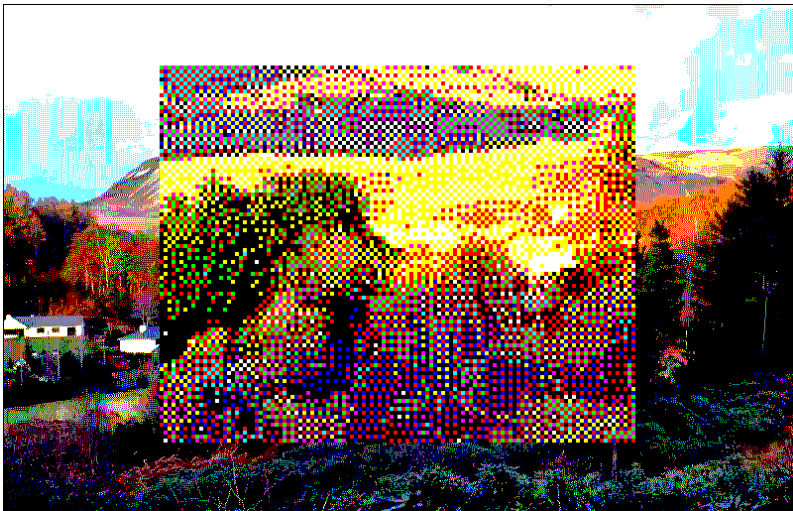
I (162263 couleurs)



quantification uniforme de I sur huit couleurs (seuillage  $2 \times 2 \times 2$ ) avec diffusion d'erreur



I (162263 couleurs)



quantification uniforme de I sur huit couleurs (seuillage  $2 \times 2 \times 2$ ) avec diffusion d'erreur

# ★ Écart entre deux images



I : image RGB en 55764 couleurs



A : quantification CM de I en 256 couleurs



B : idem avec tramage par diffusion d'erreur

$$\text{différence quadratique : } DQ(I, I') = \sum_{P \in D} (I_R(P) - I'_R(P))^2 + (I_G(P) - I'_G(P))^2 + (I_B(P) - I'_B(P))^2$$

**A**

$$: DQ(I, A) > DQ(I, B)$$

**B**

$$: DQ(I, A) < DQ(I, B)$$

★ Écart entre deux images



# ★ Écart entre deux images

A : CM 128 couleurs



# ★ Écart entre deux images

B : CM 128 couleurs  
diffusion d'erreur



# ★ Écart entre deux images

B : CM 128 couleurs  
diffusion d'erreur



# ★ Écart entre deux images



I : image RGB en 55764 couleurs



A : quantification CM de I en 256 couleurs



B : idem avec tramage par diffusion d'erreur

$$\text{différence quadratique : } DQ(I, I') = \sum_{P \in D} (I_R(P) - I'_R(P))^2 + (I_G(P) - I'_G(P))^2 + (I_B(P) - I'_B(P))^2$$

**A**

$$: DQ(I, A) > DQ(I, B)$$

**B**

$$: DQ(I, A) < DQ(I, B)$$

# ★ Écart entre deux images



I : image RGB en 55764 couleurs



A : quantification CM de I en 256 couleurs



B : idem avec tramage par diffusion d'erreur

$$\text{différence quadratique : } DQ(I, I') = \sum_{P \in D} (I_R(P) - I'_R(P))^2 + (I_G(P) - I'_G(P))^2 + (I_B(P) - I'_B(P))^2$$

$$\mathbf{A} : DQ(I, A) > DQ(I, B)$$

$$\mathbf{B} : DQ(I, A) < DQ(I, B)$$

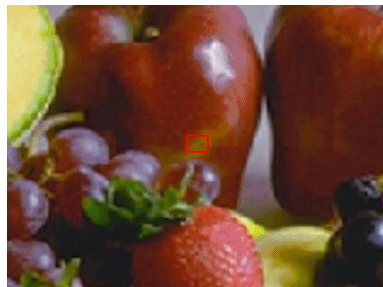
## ★ Écart entre deux images



I

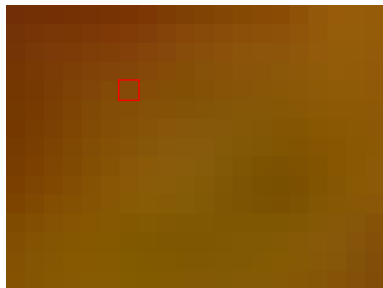


A : sans diffusion d'erreur



B : avec diffusion d'erreur

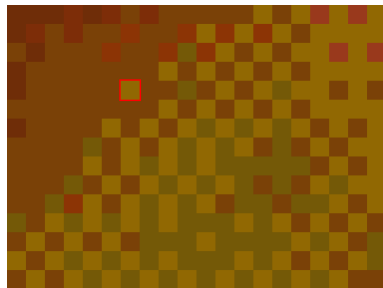
$$(I(p) - A(p))^2 < (I(p) - B(p))^2$$



I



A : sans diffusion d'erreur



B : avec diffusion d'erreur

$$(I(p) - A(p))^2 < (I(p) - B(p))^2$$

# 6. Quantification d'images à grande gamme dynamique (HDR)

## 6.1. Image à grande gamme dynamique



- ▶ synthèse d'image : adaptation locale de la quantification
- ▶ traitement local du contraste
- ▶ acquisition : combinaison de plusieurs photos

Question : à quand remonte la première acquisition HDR ?

# 6. Quantification d'images à grande gamme dynamique (HDR)

## 6.1. Image à grande gamme dynamique



- ▶ synthèse d'image : adaptation locale de la quantification
- ▶ traitement local du contraste
- ▶ acquisition : combinaison de plusieurs photos

Question : à quand remonte la première acquisition HDR ?

## 6.2. Dynamique d'une image

- ▶ rend compte de l'étendue d'une plage de luminosité (ou d'intensité) conformément à la loi de Weber-Fechner :

$$S_{max}:\Delta_S \text{ avec } \begin{cases} S_{max} : \text{plus grand signal possible} \\ \Delta_S : \text{plus petit écart de signal} \end{cases}$$

- ▶ sensibilité de **réception** d'un signal : œil, capteur photo, etc
- ▶ capacité de **restitution** : écran
- ▶ mesure logarithmique :  $\log\left(\frac{S_{max}}{\Delta_S}\right)$ 
  - ▶ logarithme base 10 : dB (décibels)
  - ▶ logarithme base 2 : « diaphs » (diaphragme) ou « stops » ou EV (exposure value)
- ▶ exemples :
  - ▶ sensibilité de l'œil humain : jusqu'à  $2^{24}:1$  (24 stops)
  - ▶ dynamique d'une image 8 bits par canal :  $256:1$  (8 stops)
  - ▶ dynamique d'une photographie format raw : 12 à 16 stops

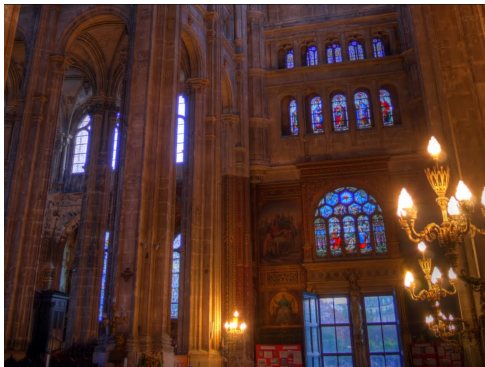
## 6.2. Dynamique d'une image

- ▶ rend compte de l'étendue d'une plage de luminosité (ou d'intensité) conformément à la loi de Weber-Fechner :

$$S_{max}:\Delta_S \text{ avec } \begin{cases} S_{max} : \text{plus grand signal possible} \\ \Delta_S : \text{plus petit écart de signal} \end{cases}$$

- ▶ sensibilité de **réception** d'un signal : œil, capteur photo, etc
- ▶ capacité de **restitution** : écran
- ▶ mesure logarithmique :  $\log\left(\frac{S_{max}}{\Delta_S}\right)$ 
  - ▶ logarithme base 10 : dB (décibels)
  - ▶ logarithme base 2 : « diaphs » (diaphragme) ou « stops » ou EV (exposure value)
- ▶ exemples :
  - ▶ sensibilité de l'**œil humain** : jusqu'à  $2^{24}:1$  (24 stops)
  - ▶ dynamique d'une **image 8 bits** par canal :  $256:1$  (8 stops)
  - ▶ dynamique d'une photographie format **raw** : 12 à 16 stops

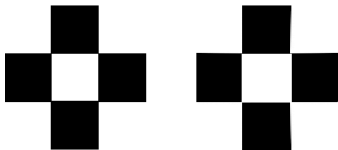
► exemples d'images de scènes à grande dynamique



pb d'affichage sur un écran d'une image avec une grande dynamique ( $> 8$  stops)

## 6.3. Quantification d'images HDR

- ▶ quantification locale : images au format raw, images de synthèse

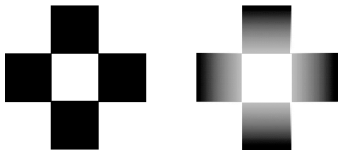


Exemple d'effet de halo produit par variation locale de contraste [Zavagno and Caputo 2001]

- ▶ requantification par post-traitement : rehaussement de contraste local (C.2)

## 6.3. Quantification d'images HDR

- ▶ quantification locale : images au format raw, images de synthèse

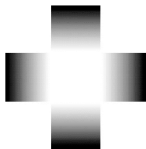
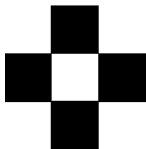


Exemple d'effet de halo produit par variation locale de contraste [Zavagno and Caputo 2001]

- ▶ requantification par post-traitement : rehaussement de contraste local (C.2)

## 6.3. Quantification d'images HDR

- ▶ quantification locale : images au format raw, images de synthèse

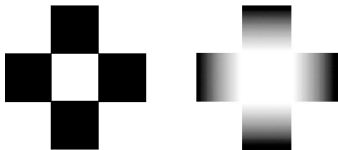


Exemple d'effet de halo produit par variation locale de contraste [Zavagno and Caputo 2001]

- ▶ requantification par post-traitement : rehaussement de contraste local (C.2)

## 6.3. Quantification d'images HDR

- ▶ quantification locale : images au format raw, images de synthèse



Exemple d'effet de halo produit par variation locale de contraste [Zavagno and Caputo 2001]

- ▶ requantification par post-traitement : rehaussement de contraste local (C.2)



image de dynamique 256:1  
40784 couleurs

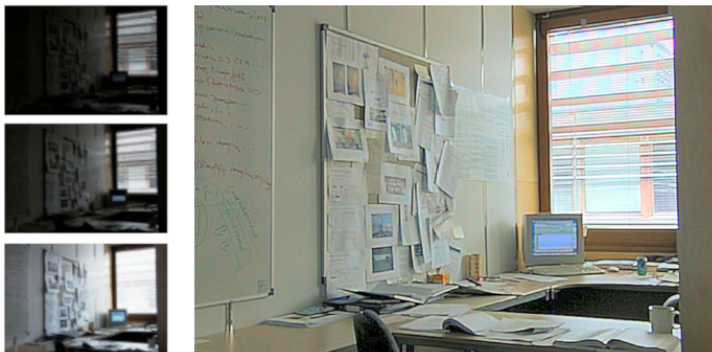


traitement 1  
154018 couleurs



traitement 2  
100496 couleurs

- ▶ combinaison d'acquisitions avec différents réglages d'exposition
  - ▶ *ouverture de diaphragme*
  - ▶ *sensibilité du signal mesuré par le capteur*
- ▶ construction d'une carte de luminance HDR à partir des expositions multiples permettant de pondérer la contribution de chaque image en chaque pixel



Jiang Duan and Guoping Qiu [2004]



Exemple avec un traitement  
standard de smartphone



la technique d'*acquisitions multiples* a été mise au point par Gustave le Gray, vers 1856 : tirage séparé de négatifs du paysage et du ciel (environ 30 ans après l'invention de la photographie par Joseph Niépce).

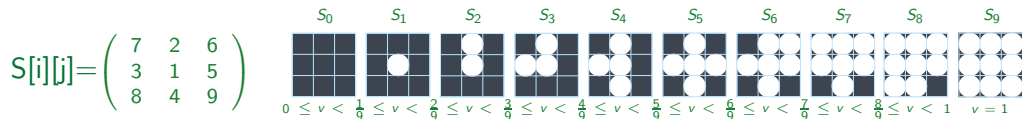


## ANNEXE A

Tramage régulier (points regroupés ou dispersés)

○ **Simulation de niveaux de gris par des motifs**

- ▶ méthode naïve : chaque point est représenté par un carré  $p \times p$  pixels
- ▶ génération de motifs **imbriqués** : codables par une matrice de  $p^2$  entiers consécutifs
- ▶ exemple de matrice  $3 \times 3$  : 10 niveaux de gris



- ▶ on ne code qu'un point sur neuf : perte de résolution (grossissement des pixels)

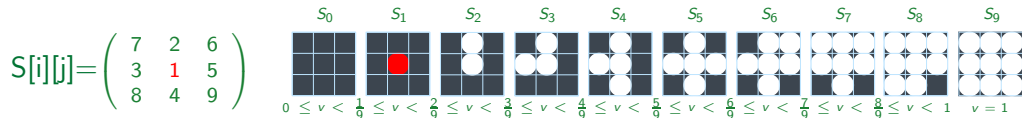
exemple : deux rectangles gris d'intensité 0.3 et 0.4

$$v = 0.3 \quad \longrightarrow \quad \frac{2}{9} < v < \frac{3}{9} \quad \longrightarrow \quad S_2$$

$$v = 0.4 \quad \longrightarrow \quad \frac{3}{9} < v < \frac{4}{9} \quad \longrightarrow \quad S_3$$

○ Simulation de niveaux de gris par des motifs

- ▶ méthode naïve : chaque point est représenté par un carré  $p \times p$  pixels
- ▶ génération de motifs **imbriqués** : codables par une matrice de  $p^2$  entiers consécutifs
- ▶ exemple de matrice  $3 \times 3$  : 10 niveaux de gris



- ▶ on ne code qu'un point sur neuf : perte de résolution (grossissement des pixels)

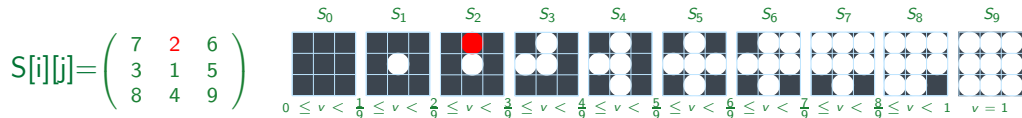
exemple : deux rectangles gris d'intensité 0.3 et 0.4

$$v = 0.3 \quad \longrightarrow \quad \frac{2}{9} < v < \frac{3}{9} \quad \longrightarrow \quad S_2$$

$$v = 0.4 \quad \longrightarrow \quad \frac{3}{9} < v < \frac{4}{9} \quad \longrightarrow \quad S_3$$

○ **Simulation de niveaux de gris par des motifs**

- ▶ méthode naïve : chaque point est représenté par un carré  $p \times p$  pixels
- ▶ génération de motifs **imbriqués** : codables par une matrice de  $p^2$  entiers consécutifs
- ▶ exemple de matrice  $3 \times 3$  : 10 niveaux de gris



- ▶ on ne code qu'un point sur neuf : perte de résolution (grossissement des pixels)

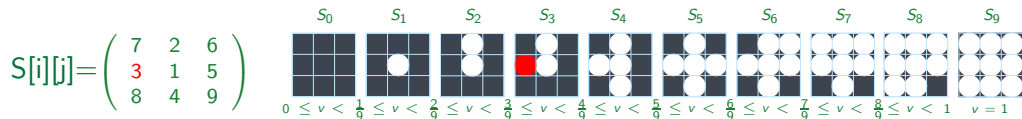
exemple : deux rectangles gris d'intensité 0.3 et 0.4

$$v = 0.3 \quad \longrightarrow \quad \frac{2}{9} < v < \frac{3}{9} \quad \longrightarrow \quad S_2$$

$$v = 0.4 \quad \longrightarrow \quad \frac{3}{9} < v < \frac{4}{9} \quad \longrightarrow \quad S_3$$

○ **Simulation de niveaux de gris par des motifs**

- ▶ méthode naïve : chaque point est représenté par un carré  $p \times p$  pixels
- ▶ génération de motifs **imbriqués** : codables par une matrice de  $p^2$  entiers consécutifs
- ▶ exemple de matrice  $3 \times 3$  : 10 niveaux de gris



- ▶ on ne code qu'un point sur neuf : perte de résolution (grossissement des pixels)

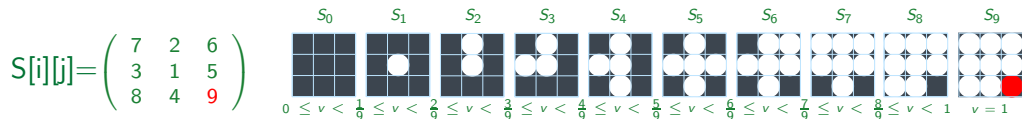
exemple : deux rectangles gris d'intensité 0.3 et 0.4

$$v = 0.3 \quad \longrightarrow \quad \frac{2}{9} < v < \frac{3}{9} \quad \longrightarrow \quad S_2$$

$$v = 0.4 \quad \longrightarrow \quad \frac{3}{9} < v < \frac{4}{9} \quad \longrightarrow \quad S_3$$

○ **Simulation de niveaux de gris par des motifs**

- ▶ méthode naïve : chaque point est représenté par un carré  $p \times p$  pixels
- ▶ génération de motifs **imbriqués** : codables par une matrice de  $p^2$  entiers consécutifs
- ▶ exemple de matrice  $3 \times 3$  : 10 niveaux de gris



- ▶ on ne code qu'un point sur neuf : perte de résolution (grossissement des pixels)

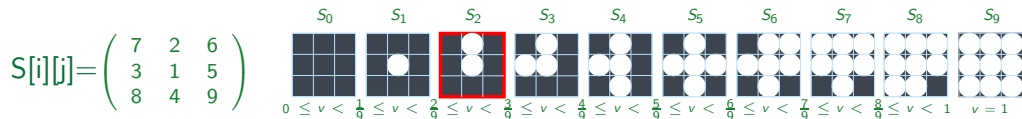
exemple : deux rectangles gris d'intensité 0.3 et 0.4

$$v = 0.3 \quad \longrightarrow \quad \frac{2}{9} < v < \frac{3}{9} \quad \longrightarrow \quad S_2$$

$$v = 0.4 \quad \longrightarrow \quad \frac{3}{9} < v < \frac{4}{9} \quad \longrightarrow \quad S_3$$

○ Simulation de niveaux de gris par des motifs

- ▶ méthode naïve : chaque point est représenté par un carré  $p \times p$  pixels
- ▶ génération de motifs imbriqués : codables par une matrice de  $p^2$  entiers consécutifs
- ▶ exemple de matrice  $3 \times 3$  : 10 niveaux de gris

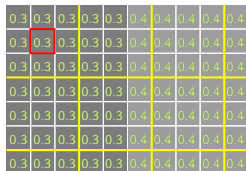


- ▶ on ne code qu'un point sur neuf : perte de résolution (grossissement des pixels)

exemple : deux rectangles gris d'intensité 0.3 et 0.4

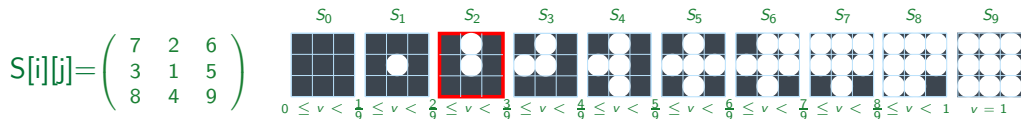
$$v = 0.3 \quad \longrightarrow \quad \frac{2}{9} < v < \frac{3}{9} \quad \longrightarrow \quad S_2$$

$$v = 0.4 \quad \longrightarrow \quad \frac{3}{9} < v < \frac{4}{9} \quad \longrightarrow \quad S_3$$



○ Simulation de niveaux de gris par des motifs

- ▶ méthode naïve : chaque point est représenté par un carré  $p \times p$  pixels
- ▶ génération de motifs **imbriqués** : codables par une matrice de  $p^2$  entiers consécutifs
- ▶ exemple de matrice  $3 \times 3$  : 10 niveaux de gris

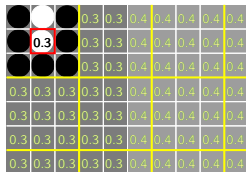


- ▶ on ne code qu'un point sur neuf : perte de résolution (grossissement des pixels)

exemple : deux rectangles gris d'intensité 0.3 et 0.4

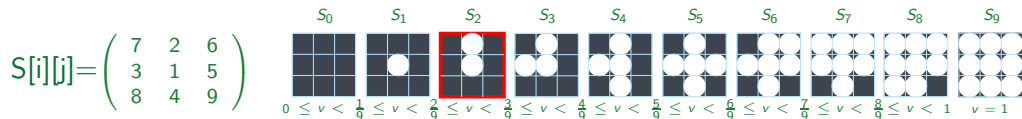
$$v = 0.3 \quad \longrightarrow \quad \frac{2}{9} < v < \frac{3}{9} \quad \longrightarrow \quad S_2$$

$$v = 0.4 \quad \longrightarrow \quad \frac{3}{9} < v < \frac{4}{9} \quad \longrightarrow \quad S_3$$



○ Simulation de niveaux de gris par des motifs

- ▶ méthode naïve : chaque point est représenté par un carré  $p \times p$  pixels
- ▶ génération de motifs **imbriqués** : codables par une matrice de  $p^2$  entiers consécutifs
- ▶ exemple de matrice  $3 \times 3$  : 10 niveaux de gris

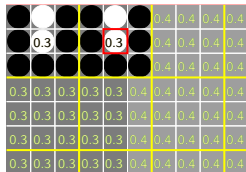


- ▶ on ne code qu'un point sur neuf : perte de résolution (grossissement des pixels)

exemple : deux rectangles gris d'intensité 0.3 et 0.4

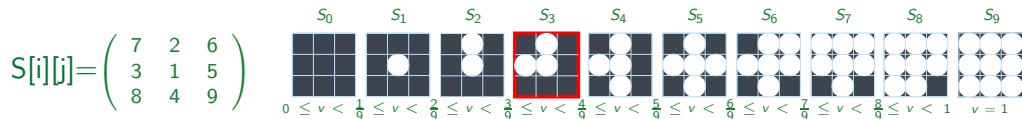
$$v = 0.3 \quad \longrightarrow \quad \frac{2}{9} < v < \frac{3}{9} \quad \longrightarrow \quad S_2$$

$$v = 0.4 \quad \longrightarrow \quad \frac{3}{9} < v < \frac{4}{9} \quad \longrightarrow \quad S_3$$



○ Simulation de niveaux de gris par des motifs

- ▶ méthode naïve : chaque point est représenté par un carré  $p \times p$  pixels
- ▶ génération de motifs **imbriqués** : codables par une matrice de  $p^2$  entiers consécutifs
- ▶ exemple de matrice  $3 \times 3$  : 10 niveaux de gris

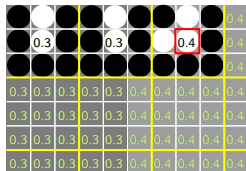


- ▶ on ne code qu'un point sur neuf : perte de résolution (grossissement des pixels)

exemple : deux rectangles gris d'intensité 0.3 et 0.4

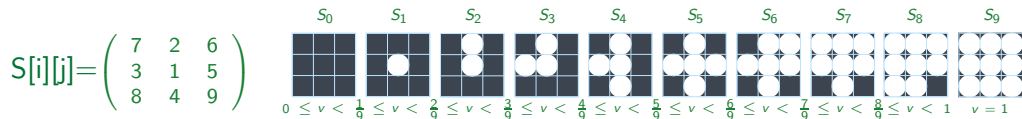
$$v = 0.3 \longrightarrow \frac{2}{9} < v < \frac{3}{9} \longrightarrow S_2$$

$$v = 0.4 \longrightarrow \frac{3}{9} < v < \frac{4}{9} \longrightarrow S_3$$



○ Simulation de niveaux de gris par des motifs

- ▶ méthode naïve : chaque point est représenté par un carré  $p \times p$  pixels
- ▶ génération de motifs **imbriqués** : codables par une matrice de  $p^2$  entiers consécutifs
- ▶ exemple de matrice  $3 \times 3$  : 10 niveaux de gris

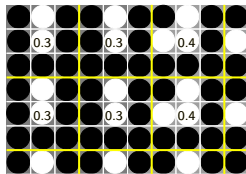


- ▶ on ne code qu'un point sur neuf : perte de résolution (grossissement des pixels)

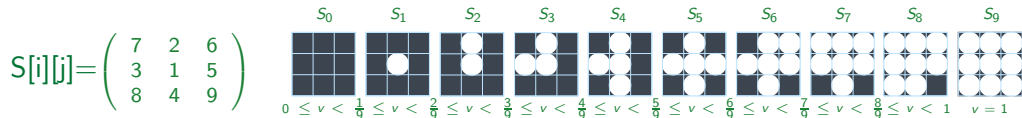
exemple : deux rectangles gris d'intensité 0.3 et 0.4

$$v = 0.3 \quad \longrightarrow \quad \frac{2}{9} < v < \frac{3}{9} \quad \longrightarrow \quad S_2$$

$$v = 0.4 \quad \longrightarrow \quad \frac{3}{9} < v < \frac{4}{9} \quad \longrightarrow \quad S_3$$



○ Conservation de la résolution : méthode de seuillage



▶ utilisation de la matrice de motif  $S$  comme matrice de seuillage

- ▶ *pavage de l'image avec la matrice de motifs*
- ▶ *en chaque point, seuillage du niveau de gris par la valeur correspondante de  $S$*

7	2	6	7	2	6	7	2	6	7
3	1	5	3	1	5	3	1	5	3
8	4	9	8	4	9	8	4	9	8
7	2	6	7	2	6	7	2	6	7
3	1	5	3	1	5	3	1	5	3
8	4	9	8	4	9	8	4	9	8
7	2	6	7	2	6	7	2	6	7

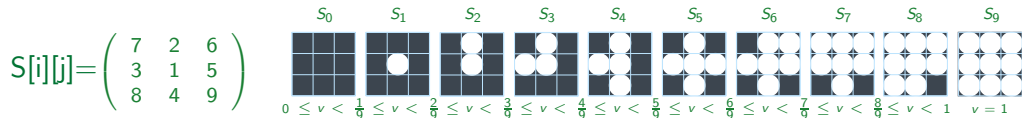
$$0.3 > \frac{1}{9} = 0.111\dots$$

0.3	0.3	0.3	0.3	0.3	0.4	0.4	0.4	0.4	0.4
0.3	0.3	0.3	0.3	0.3	0.4	0.4	0.4	0.4	0.4
0.3	0.3	0.3	0.3	0.3	0.4	0.4	0.4	0.4	0.4
0.3	0.3	0.3	0.3	0.3	0.4	0.4	0.4	0.4	0.4
0.3	0.3	0.3	0.3	0.3	0.4	0.4	0.4	0.4	0.4
0.3	0.3	0.3	0.3	0.3	0.4	0.4	0.4	0.4	0.4
0.3	0.3	0.3	0.3	0.3	0.4	0.4	0.4	0.4	0.4
0.3	0.3	0.3	0.3	0.3	0.4	0.4	0.4	0.4	0.4

- ▶ même résultat sur des plages uniformes
- ▶ pas de perte de résolution (seuillage par pixel)
- ▶ densité de niveau satisfaite statistiquement

$$\begin{aligned}
 & \text{si } (I[i][j] \geq \frac{1}{9} * S[i \% 3][j \% 3]) \\
 & \quad I'[i][j] = 1 \\
 & \text{sinon} \\
 & \quad I'[i][j] = 0
 \end{aligned}$$

○ Conservation de la résolution : méthode de seuillage



▶ utilisation de la matrice de motif  $S$  comme matrice de seuillage

- ▶ *pavage de l'image avec la matrice de motifs*
- ▶ *en chaque point, seuillage du niveau de gris par la valeur correspondante de  $S$*

7	2	6	7	2	6	7	2	6	7
3	1	5	3	1	5	3	1	5	3
8	4	9	8	4	9	8	4	9	8
7	2	6	7	2	6	7	2	6	7
3	1	5	3	1	5	3	1	5	3
8	4	9	8	4	9	8	4	9	8
7	2	6	7	2	6	7	2	6	7

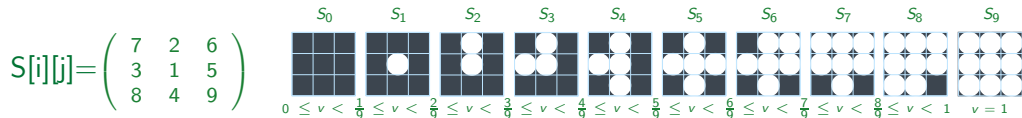
$$0.3 > \frac{1}{9} = 0.111\dots$$

0.3	0.3	0.3	0.3	0.3	0.4	0.4	0.4	0.4	0.4
0.3	0.3	0.3	0.3	0.3	0.4	0.4	0.4	0.4	0.4
0.3	0.3	0.3	0.3	0.3	0.4	0.4	0.4	0.4	0.4
0.3	0.3	0.3	0.3	0.3	0.4	0.4	0.4	0.4	0.4
0.3	0.3	0.3	0.3	0.3	0.4	0.4	0.4	0.4	0.4
0.3	0.3	0.3	0.3	0.3	0.4	0.4	0.4	0.4	0.4
0.3	0.3	0.3	0.3	0.3	0.4	0.4	0.4	0.4	0.4
0.3	0.3	0.3	0.3	0.3	0.4	0.4	0.4	0.4	0.4

- ▶ même résultat sur des plages uniformes
- ▶ pas de perte de résolution (seuillage par pixel)
- ▶ densité de niveau satisfaite statistiquement

$$\begin{aligned}
 & \text{si } (I[i][j] \geq \frac{1}{9} * S[i \% 3][j \% 3]) \\
 & \quad I'[i][j] = 1 \\
 & \text{sinon} \\
 & \quad I'[i][j] = 0
 \end{aligned}$$

○ Conservation de la résolution : méthode de seuillage



▶ utilisation de la matrice de motif  $S$  comme matrice de seuillage

- ▶ *pavage de l'image avec la matrice de motifs*
- ▶ *en chaque point, seuillage du niveau de gris par la valeur correspondante de  $S$*

7	2	6	7	2	6	7	2	6	7
3	1	5	3	1	5	3	1	5	3
8	4	9	8	4	9	8	4	9	8
7	2	6	7	2	6	7	2	6	7
3	1	5	3	1	5	3	1	5	3
8	4	9	8	4	9	8	4	9	8
7	2	6	7	2	6	7	2	6	7

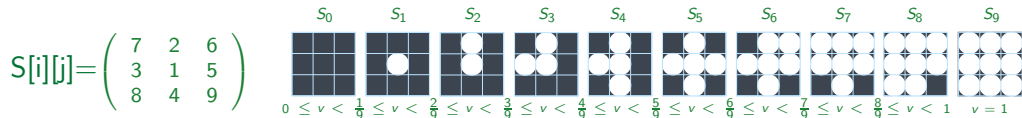
$0.3 \not\geq \frac{4}{9} = 0.444\dots$

0.3	0.3	0.3	0.3	0.3	0.4	0.4	0.4	0.4	0.4
0.3	0.3	0.3	0.3	0.3	0.4	0.4	0.4	0.4	0.4
0.3	0.3	0.3	0.3	0.3	0.4	0.4	0.4	0.4	0.4
0.3	0.3	0.3	0.3	0.3	0.4	0.4	0.4	0.4	0.4
0.3	0.3	0.3	0.3	0.3	0.4	0.4	0.4	0.4	0.4
0.3	0.3	0.3	0.3	0.3	0.4	0.4	0.4	0.4	0.4
0.3	0.3	0.3	0.3	0.3	0.4	0.4	0.4	0.4	0.4
0.3	0.3	0.3	0.3	0.3	0.4	0.4	0.4	0.4	0.4

- ▶ même résultat sur des plages uniformes
- ▶ pas de perte de résolution (seuillage par pixel)
- ▶ densité de niveau satisfaite statistiquement

si  $(I[i][j] \geq \frac{1}{9} * S[i \% 3][j \% 3])$   
 $I'[i][j] = 1$   
 sinon  
 $I'[i][j] = 0$

○ Conservation de la résolution : méthode de seuillage



- ▶ utilisation de la matrice de motif  $S$  comme matrice de seuillage
  - ▶ *pavage de l'image avec la matrice de motifs*
  - ▶ *en chaque point, seuillage du niveau de gris par la valeur correspondante de  $S$*

7	2	6	7	2	6	7	2	6	7
3	1	5	3	1	5	3	1	5	3
8	4	9	8	4	9	8	4	9	8
7	2	6	7	2	6	7	2	6	7
3	1	5	3	1	5	3	1	5	3
8	4	9	8	4	9	8	4	9	8
7	2	6	7	2	6	7	2	6	7

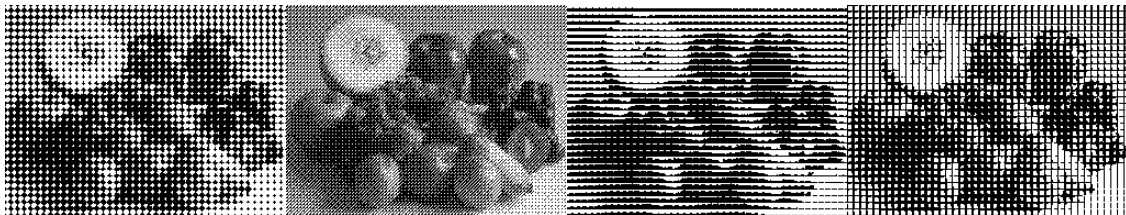
$0.3 \not\geq \frac{4}{9} = 0.444\dots$



- ▶ même résultat sur des plages uniformes
- ▶ pas de perte de résolution (seuillage par pixel)
- ▶ densité de niveau satisfaite statistiquement

si  $(I[i][j] \geq \frac{1}{9} * S[i \% 3][j \% 3])$   
 $I'[i][j] = 1$   
 sinon  
 $I'[i][j] = 0$

# ★ Tramage



$$D_1 = \begin{matrix} & l_1 \\ \begin{pmatrix} 21 & 20 & 19 & 18 & 17 & 36 \\ 22 & 7 & 6 & 5 & 16 & 35 \\ 23 & 8 & 1 & 4 & 15 & 34 \\ 24 & 9 & 2 & 3 & 14 & 33 \\ 25 & 10 & 11 & 12 & 13 & 32 \\ 26 & 27 & 28 & 29 & 30 & 31 \end{pmatrix} \end{matrix}$$

$$D_2 = \begin{matrix} & l_2 \\ \begin{pmatrix} 26 & 16 & 7 & 15 & 25 & 32 \\ 17 & 8 & 2 & 6 & 14 & 24 \\ 9 & 3 & 1 & 5 & 13 & 23 \\ 18 & 10 & 4 & 12 & 22 & 31 \\ 27 & 19 & 11 & 21 & 30 & 35 \\ 33 & 28 & 20 & 29 & 34 & 36 \end{pmatrix} \end{matrix}$$

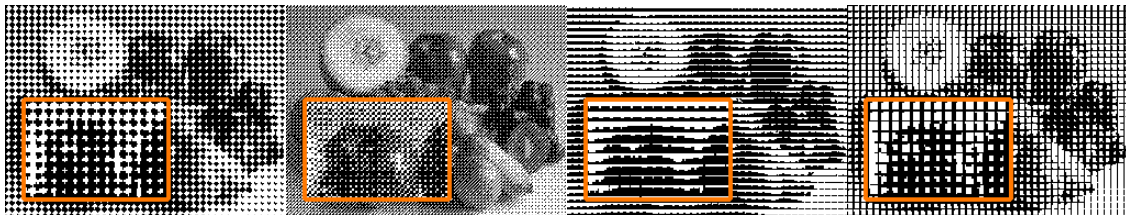
$$D_3 = \begin{matrix} & l_3 \\ \begin{pmatrix} 1 & 2 & 3 & 4 & 5 & 6 \\ 7 & 8 & 9 & 10 & 11 & 12 \\ 13 & 14 & 15 & 16 & 17 & 18 \\ 19 & 20 & 21 & 22 & 23 & 24 \\ 25 & 26 & 27 & 28 & 29 & 30 \\ 31 & 32 & 33 & 34 & 35 & 36 \end{pmatrix} \end{matrix}$$

$$D_4 = \begin{matrix} & l_4 \\ \begin{pmatrix} 1 & 29 & 13 & 3 & 31 & 15 \\ 25 & 21 & 9 & 27 & 23 & 11 \\ 17 & 5 & 33 & 19 & 7 & 35 \\ 4 & 32 & 16 & 2 & 30 & 14 \\ 28 & 24 & 12 & 26 & 22 & 10 \\ 20 & 8 & 36 & 18 & 6 & 34 \end{pmatrix} \end{matrix}$$

	$l_1$	$l_2$	$l_3$	$l_4$
<b>A</b>	$D_1$	$D_4$	$D_3$	$D_2$
<b>B</b>	$D_2$	$D_4$	$D_3$	$D_1$

	$l_1$	$l_2$	$l_3$	$l_4$
<b>C</b>	$D_2$	$D_3$	$D_4$	$D_1$
<b>D</b>	$D_2$	$D_4$	$D_1$	$D_3$

# ★ Tramage



$$D_1 = \begin{matrix} & l_1 \\ \begin{pmatrix} 21 & 20 & 19 & 18 & 17 & 36 \\ 22 & 7 & 6 & 5 & 16 & 35 \\ 23 & 8 & 1 & 4 & 15 & 34 \\ 24 & 9 & 2 & 3 & 14 & 33 \\ 25 & 10 & 11 & 12 & 13 & 32 \\ 26 & 27 & 28 & 29 & 30 & 31 \end{pmatrix} \end{matrix}$$

$$D_2 = \begin{matrix} & l_2 \\ \begin{pmatrix} 26 & 16 & 7 & 15 & 25 & 32 \\ 17 & 8 & 2 & 6 & 14 & 24 \\ 9 & 3 & 1 & 5 & 13 & 23 \\ 18 & 10 & 4 & 12 & 22 & 31 \\ 27 & 19 & 11 & 21 & 30 & 35 \\ 33 & 28 & 20 & 29 & 34 & 36 \end{pmatrix} \end{matrix}$$

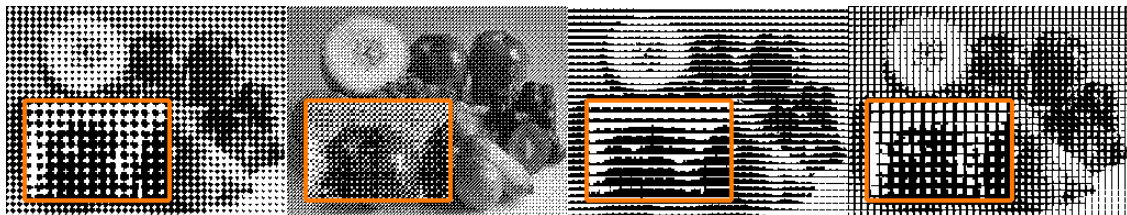
$$D_3 = \begin{matrix} & l_3 \\ \begin{pmatrix} 1 & 2 & 3 & 4 & 5 & 6 \\ 7 & 8 & 9 & 10 & 11 & 12 \\ 13 & 14 & 15 & 16 & 17 & 18 \\ 19 & 20 & 21 & 22 & 23 & 24 \\ 25 & 26 & 27 & 28 & 29 & 30 \\ 31 & 32 & 33 & 34 & 35 & 36 \end{pmatrix} \end{matrix}$$

$$D_4 = \begin{matrix} & l_4 \\ \begin{pmatrix} 1 & 29 & 13 & 3 & 31 & 15 \\ 25 & 21 & 9 & 27 & 23 & 11 \\ 17 & 5 & 33 & 19 & 7 & 35 \\ 4 & 32 & 16 & 2 & 30 & 14 \\ 28 & 24 & 12 & 26 & 22 & 10 \\ 20 & 8 & 36 & 18 & 6 & 34 \end{pmatrix} \end{matrix}$$

	$l_1$	$l_2$	$l_3$	$l_4$
<b>A</b>	$D_1$	$D_4$	$D_3$	$D_2$
<b>B</b>	$D_2$	$D_4$	$D_3$	$D_1$

	$l_1$	$l_2$	$l_3$	$l_4$
<b>C</b>	$D_2$	$D_3$	$D_4$	$D_1$
<b>D</b>	$D_2$	$D_4$	$D_1$	$D_3$

# ★ Tramage



$$D_1 = \begin{matrix} & l_1 \\ \begin{pmatrix} 21 & 20 & 19 & 18 & 17 & 36 \\ 22 & 7 & 6 & 5 & 16 & 35 \\ 23 & 8 & 1 & 4 & 15 & 34 \\ 24 & 9 & 2 & 3 & 14 & 33 \\ 25 & 10 & 11 & 12 & 13 & 32 \\ 26 & 27 & 28 & 29 & 30 & 31 \end{pmatrix} \end{matrix}$$

$$D_2 = \begin{matrix} & l_2 \\ \begin{pmatrix} 26 & 16 & 7 & 15 & 25 & 32 \\ 17 & 8 & 2 & 6 & 14 & 24 \\ 9 & 3 & 1 & 5 & 13 & 23 \\ 18 & 10 & 4 & 12 & 22 & 31 \\ 27 & 19 & 11 & 21 & 30 & 35 \\ 33 & 28 & 20 & 29 & 34 & 36 \end{pmatrix} \end{matrix}$$

$$D_3 = \begin{matrix} & l_3 \\ \begin{pmatrix} 1 & 2 & 3 & 4 & 5 & 6 \\ 7 & 8 & 9 & 10 & 11 & 12 \\ 13 & 14 & 15 & 16 & 17 & 18 \\ 19 & 20 & 21 & 22 & 23 & 24 \\ 25 & 26 & 27 & 28 & 29 & 30 \\ 31 & 32 & 33 & 34 & 35 & 36 \end{pmatrix} \end{matrix}$$

$$D_4 = \begin{matrix} & l_4 \\ \begin{pmatrix} 1 & 29 & 13 & 3 & 31 & 15 \\ 25 & 21 & 9 & 27 & 23 & 11 \\ 17 & 5 & 33 & 19 & 7 & 35 \\ 4 & 32 & 16 & 2 & 30 & 14 \\ 28 & 24 & 12 & 26 & 22 & 10 \\ 20 & 8 & 36 & 18 & 6 & 34 \end{pmatrix} \end{matrix}$$

**A**

	$l_1$	$l_2$	$l_3$	$l_4$
<b>A</b>	$D_1$	$D_4$	$D_3$	$D_2$
<b>B</b>	$D_2$	$D_4$	$D_3$	$D_1$

**B**

**C**

	$l_1$	$l_2$	$l_3$	$l_4$
<b>C</b>	$D_2$	$D_3$	$D_4$	$D_1$
<b>D</b>	$D_2$	$D_4$	$D_1$	$D_3$

**D**